

остовной зоны от наличия «дополнительного» катиона в соединении глубина залегания этой зоны принималась равной 14 эВ во всех исследуемых бромидах. На основе этого получены значения ширины основной энергетической щели E_g кристаллов (см. таблицу).

Список литературы

- [1] Родный П. А., Терехин М. А., Петров С. В. // ФТТ. 1990. Т. 32. № 10. С. 3174—3173.
- [2] Rodnyi P. A., Terekhin M. A., Mel'chakov E. N. // J. of Luminescence. 1991. V. 47. N 1. P. 281—284.
- [3] Валбис Я. А., Рачко З. А., Янсонс Я. Л., Антоняк О. Т., Волошиновский А. С. // Сб. «Радиационно-стимулированные процессы в широкосщелевых кристаллах». Рига, 1987. С. 82—80.
- [4] Антоняк О. Т., Волошиновский А. С., Пашук И. П. и др. // Опт. и спектр. 1991. Т. 70. № 5. С. 1035—1037.
- [5] Kikas A., Elango M. // Solid State Comm. 1990. V. 70. N 11. P. 1113—1116.
- [6] Денисов И. П., Кривченко В. А., Маловичко А. В., Яковлев В. Ю. // ФТТ. 1989. Т. 31. № 7. С. 22—25.
- [7] Родный П. А. // Опт. и спектр. 1989. Т. 67. № 5. С. 1068—1074.
- [8] Александров Ю. М., Куусман И. Л., Либлик П. Х. и др. // ФТТ. 1987. Т. 29. № 4. С. 1026—1029.
- [9] Andbaund C., Pelle F., Pilla O., Blanzat B. // Phys. Stat. Solidi (b). 1988. V. 149/2. P. 757—763.
- [10] Kubota S., Ruan(Gen) J., Itoh M., Hashimoto S., Sakuragi S. // Nucl. Instr. and Methods. 1990. V. A282. N 3. P. 253—260.

Львовский государственный
университет им. И. Франко

Поступило в Редакцию
10 сентября 1991 г.

Санкт-Петербургский государственный
технический университет

© Физика твердого тела, том 34, № 2, 1992
Solid State Physics, vol. 34, N 2, 1992

РАСЧЕТ ПОВЕРХНОСТНОГО ФОТОГАЛЬВАНИЧЕСКОГО ЭФФЕКТА В РЕАЛЬНЫХ МОДЕЛЯХ РАССЕЯНИЯ

B. I. Белиничер, B. A. Бригинец

Теория поверхностного фотогальванического эффекта (ПФГЭ), развитая в работах [1—3], строилась на основе хорошо известного τ -приближения для интегралов столкновений электрона в объеме и на поверхности кристалла. Поскольку такая теория носит приближенный характер, то остается неясным вопрос об ее точности. С целью прояснения этого вопроса мы провели численное моделирование ПФГЭ методом Монте-Карло. Рассеяние импульса электрона в выбранной нами модели происходило на экранированных заряженных примесях, локализованных в объеме и на поверхности кристалла. Такая модель рассеяния позволяет описывать как изотропное рассеяние в случае, когда модуль волнового вектора k много меньше обратного радиуса экранирования z_0^{-1} , так и резко анизотропное рассеяние при $k > z_0^{-1}$.

В случае полупроводника с изотропным параболическим законом дисперсии ПФГЭ может быть описан обычным кинетическим уравнением для функции распределения электронов $f(z, k)$

$$\frac{\partial f(z, k)}{\partial t} + \frac{k_\perp}{m} \frac{\partial f(z, k)}{\partial z} = S t_k(f) + W_k \exp(-z), \quad (1)$$

Здесь m — масса электрона; z , k_{\perp} — координата и волновой вектор вдоль нормали к поверхности; z — коэффициент поглощения света; W_k — плотность фоторожденных электронов.

В случае упругого рассеяния интеграл столкновений $S_{kk'}(f)$ имеет вид [4]

$$S_{kk'}(f) = \int W_{kk'}(f_{k'} - f_k) dk',$$

$$W_{kk'} \propto \delta(\epsilon_k - \epsilon_{k'}). \quad (2)$$

Здесь $W_{kk'}$ — вероятность рассеяния, ϵ_k — закон дисперсии электронов.

Уравнение (1) необходимо дополнить граничным условием на поверхности [1, 5]

$$\begin{aligned} f_k(s) &= f_{k^*}(s) + (m/k_{\perp}) S_{kk'}^{n_{\text{ob}}}(f), \quad k_{\perp} > 0, \\ S_{kk'}^{n_{\text{ob}}}(f) &= \int W_{kk'}^{n_{\text{ob}}}(f_{k'^*} - f_{k^*}) dk', \\ W_{kk'}^{n_{\text{ob}}} &\propto \delta(\epsilon_k - \epsilon_{k'}). \end{aligned} \quad (3)$$

Здесь k^* отличается от k сменой знака k_{\perp} ; $f_k(s)$ — функция распределения на поверхности.

Для возникновения ПФГЭ плотность фоторожденных электронов должна содержать анизотропный вклад $W_k \propto |ke|^2$, где e — вектор поляризации света. Мы ограничились W_k простейшего вида

$$W_k = (3|ke|^2/4\pi k^3 m)(\chi I/\hbar\omega) \delta(\epsilon_k - E_0), \quad (4)$$

где I , ω — интенсивность и частота света, E_0 — кинетическая энергия фотоэлектронов.

В случае использования τ -приближения для рассеяния в объеме и приближения коэффициента диффузности для рассеяния на поверхности имеем

$$\begin{aligned} S_{kk'}(f) &= -\Gamma_k^p(f_k - f_{k'}), \\ \Gamma_k^p &\equiv \tau_p^{-1}, \\ f_k(s) &= (f - \gamma) f_{k^*}(s) + \gamma(m/k_{\perp}) \overline{[(k_{\perp}/m) \theta(k_{\perp}) f_{k^*}(s)]}. \end{aligned} \quad (5)$$

Здесь Γ_k^p — частота потери импульса электрона при объемном рассеянии, γ — коэффициент диффузности, черта обозначает усреднение по углам.

Частота потери импульса стандартным образом выражается через вероятность рассеяния $W_{kk'}$ и для рассеяния на заряженных примесях имеет вид

$$\Gamma_k^p = \int (1 - kk'/k^2) W_{kk'} dk' = (2\pi N/mk^3 a_0^2) \psi(z). \quad (6)$$

Здесь N — концентрация примесей, a_0 — боровский радиус электрона в кристалле,

$$\psi(z) = \ln(z) + 1/z - 1, \quad z = 1 + 4k^2 r_s^2.$$

Коэффициент диффузности γ определяет меру потери продольной относительно поверхности компоненты импульса k_{\parallel} при рассеянии электрона от поверхности

$$\int (k_{\parallel} - k'_{\parallel}) W_{kk'}^{n_{\text{ob}}} dk' = \gamma k_{\parallel}. \quad (7)$$

В частности, а) при зеркальном рассеянии $\gamma=0$ и k_{\parallel} сохраняется при отражении электрона, б) при полностью диффузном рассеянии $\gamma=1$ и

$$\int W_{kk'}^{\text{об}} d\mathbf{k}' = 1, \quad \int k_{\parallel} W_{kk'}^{\text{об}} d\mathbf{k}' = 0. \quad (8)$$

Определение (7) справедливо для изотропного в плоскости поверхности рассеяния, и из него следует, что

$$\gamma = \int (1 - k_{\perp} k'_{\perp} / k_{\parallel}^2) W_{kk'} dk'. \quad (9)$$

Если длину измерять в единицах z^{-1} , а ток в относительных единицах, то решение определяется безразмерными параметрами $\alpha \Lambda_p$ ($\Lambda_p = k/m\Gamma_p$ — длина свободного пробега по импульсу) и γ , а также характером рассеяния в объеме и на поверхности. Численное моделирование в таких единицах делает результаты расчетов универсальными.

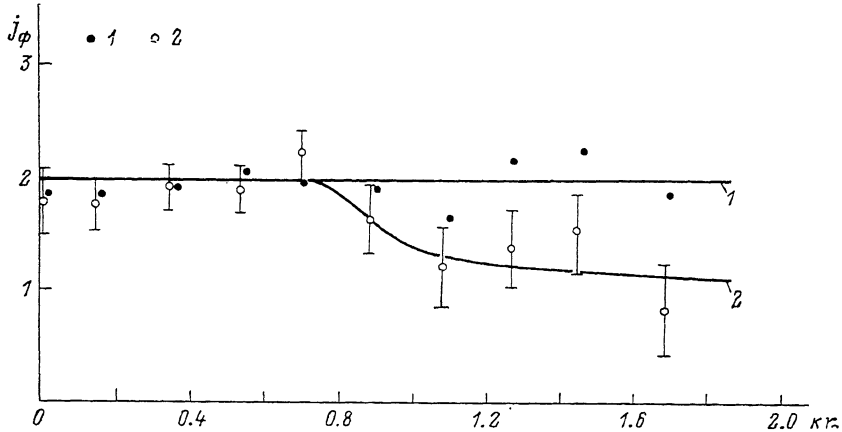


Рис. 1. Зависимость фототока в приближении коэффициента диффузности для поверхностного рассеяния от kr_s при моделировании с $2 \cdot 10^5$ частиц.

1 — τ -приближение для рассеяния в объеме, 2 — прямое моделирование рассеяния на заряженных примесях.

Мы осуществляли прямое моделирование процесса по методу Монте-Карло анизотропной фотогенерации электронов, распределенных по нормали к поверхности по закону $\exp(-z)$. Вектор поляризации света выбирался под углом 45° к поверхности, а параметр $\alpha \Lambda_p = 1$, коэффициент диффузности $\gamma = 0.3$. Как следует из аналитических формул [2, 3], именно в этом случае зависимость ПФГЭ от характера рассеяния наиболее существенная. Вероятность рассеяния на экранированных заряженных примесях в объеме полупроводника легко моделируется. Для этого достаточно разыграть косинус угла рассеяния в системе отсчета, связанной с начальным импульсом электрона. Мы не ставили перед собой задачу точно смоделировать рассеяние на заряженных примесях, локализованных на поверхности. Мы хотели рассмотреть рассеяние, которое является изотропным в полусфере для $kz_0 \ll 1$ и резко анизотропным, локализованным вблизи направления зеркального отражения для $kz_0 \gg 1$. Поэтому мы использовали следующую простую модель поверхностного рассеяния. Вероятность рассеяния $W_{kk'}^{\text{об}}$ выбиралась с точностью для нормировки в том же виде, что и для рассеяния в объеме, при этом в случае рассеяния в нефизическую область за поверхность кристалла менялся знак k_{\perp} . В этом случае коэффициент диффузности равен

$$\gamma = (1/8) (kr_s)^{-4} z \psi(z) W_{\text{пов}}. \quad (10)$$

Здесь $W_{\text{нов}}$ — полная вероятность рассеяния на заряженных примесях на поверхности. В результате численного моделирования находилась величина среднего смещения электрона вдоль поверхности после акта фотогорождения. Фототок пропорционален этой величине.

На рис. 1, 2 представлена зависимость фототока в относительных единицах от произведения волнового вектора на радиус экранирования kz_0 , рассчитанного для четырех различных моделей рассеяния, которым соответствуют одни и те же значения τ_p и γ .

Диапазон изменения волнового вектора электрона k выбран так, чтобы включить оба предельных случая $4k^2z_0^2 \gg 1$ и $4k^2z_0^2 \ll 1$. Поскольку параметры $\tau_p \cdot \lambda_p = 1$ и $\gamma = 0.3$, то концентрация заряженных примесей в объеме и на поверхности была функцией импульса k . Такой выбор позволяет наиболее четко выде-

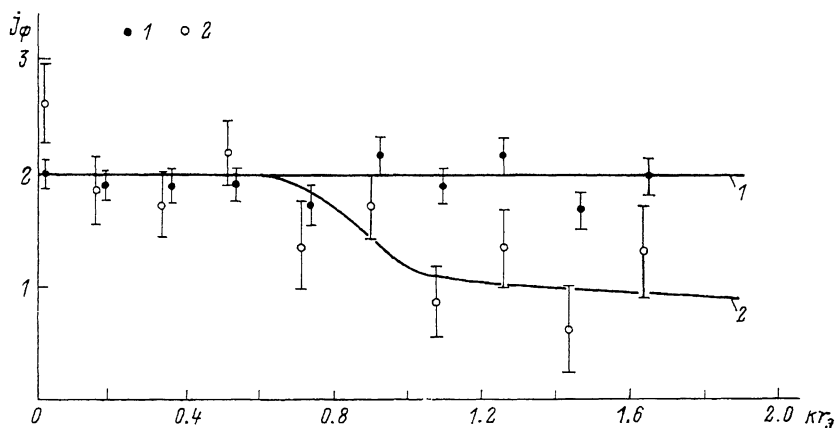


Рис. 2. Зависимость фототока при учете рассеяния на заряженных примесях, локализованных на поверхности от $k r_0$.

1 — τ -приближение для рассеяния в объеме при моделировании с $2 \cdot 10^6$ частиц, 2 — прямое моделирование рассеяния на заряженных примесях в объеме при моделировании с $3 \cdot 10^5$ частиц.

лить зависимость фототока от характера рассеяния. Ошибка расчета определялась по величине поверхностного тока, рассчитанного в направлении, перпендикулярном поляризации света e .

Из результатов расчетов (рис. 1, 2) следует, что при $4k^2z_0^2 \ll 1$ все четыре модели рассеяния приводят к одному значению фототока, а при $4k^2z_0^2 \gg 1$ значения фототока при рассеянии на заряженных примесях в объеме могут отличаться от результатов τ -приближения на 50 %. Следовательно, попытка определения коэффициента диффузности из экспериментальных данных [5, 6] на основе простой теории [2, 3], если рассеяние происходит на заряженных примесях при $4k^2z_0^2 \gg 1$, дает заниженное значение коэффициента диффузности γ .

В заключение отметим, что, несмотря на то что максимальное значение $4k^2z_0^2$ в наших расчетах было ≈ 10 , эти результаты справедливы и при $4k^2z_0^2 \gg 10$. Действительно, когда рассеяние происходит вперед, справедливо дифференциальное приближение для интеграла столкновений. Единственным параметром рассеяния в этом случае является время потери импульса. Характер же рассеяния не зависит от того, насколько резко вперед устроено рассеяние.

Мы благодарны А. С. Терехову за интерес к работе, М. В. Энтину за полезные обсуждения.

Список литературы

- [1] Магарилл Л. И., Энтин М. В. // ФТТ. 1979. Т. 21. № 5. С. 1281—1286.
- [2] Альперович В. Л., Белиничер В. И., Новиков В. Н., Терехов А. С. // Письма в ЖЭТФ. 1980. Т. 31. № 10. С. 581—584.
- [3] Альперович В. Л., Белиничер В. И., Новиков В. Н., Терехов А. С. // ЖЭТФ. 1980. Т. 80. № 6. С. 2298—2312.
- [4] Зеегер К. Физика полупроводников. М., 1977. С. 616.
- [5] Альперович В. Л., Белиничер В. И., Гусем Г. М., Новиков В. Н., Терехов А. С. // Письма в ЖЭТФ. 1981. Т. 34, № 8. С. 437—440.
- [6] Альперович В. Л., Мишаев А. О., Терехов А. С. // Письма в ЖЭТФ. 1989. Т. 49. № 11. С. 610—614.

Институт физики полупроводников СО РАН
Новосибирск

Поступило в Редакцию
10 сентября 1991 г.

УДК 537.312.6

© Физика твердого тела, том 34, № 2, 1992
Solid State Physics, vol. 34, N 2, 1992

ПЕРЕХОД МЕТАЛЛ—ПОЛУПРОВОДНИК В Cr_{1-x}S ($x \leq 0.12$)

B. B. Соколович

Переход металл—полупроводник (ПМП) наблюдается в образцах Cr_{1-x}S ($x \leq 0.10$), содержащих при низкой температуре моноклинную фазу CrS [1, 2]. В настоящее время отсутствует достоверная информация о том, что кто-либо получал и исследовал CrS в чистом виде. Обычно CrS существует с фазой Cr_7S_8 [3], являющейся металлом при всех температурах [1]. Поэтому ПМП, наблюдавшиеся в Cr_{1-x}S , связывают с CrS . По мнению авторов работ [1, 4], данные ПМП обусловленыискажением решетки CrS .

В соединениях переходных металлов ПМП обычно являются несобственными и сопровождают структурные либо магнитные фазовые переходы. Переход в Cr_{1-x}S среди других ПМП выделяется аномально большой областью перехода ($\Delta T = 300$ К) [1], сложным характером изменения электросопротивления в области перехода [5]. Эти особенности легко можно было бы объяснить, предположив наличие у CrS помимо структурного перехода с $T = 870$ К [6] перехода с $T = 620$ К. Однако в настоящее время нет сведений, указывающих на наличие в CrS фазового превращения при 620 К.

Синтез сульфидов хрома Cr_{1-x}S ($x \leq 0.12$) был проведен в вакуумированных кварцевых ампулах в течение 48 ч при 960 °C. После охлаждения полученные сульфиды растирались в порошок и из него прессовались таблетки. Таблетки отжигались в вакуумированных ампулах при 960 °C в течение 2 ч с последующим охлаждением до комнатной температуры со скоростью 40 град/ч. Рентгенографическое изучение образцов было выполнено на установке ДРОН-2.0 при комнатной температуре. Рентгенограммы образца $\text{Cr}_{0.88}\text{S}$ содержали рефлексы, соответствующие фазе Cr_7S_8 , и несколько рефлексов низкой интенсивности, соответствующих 3C-структуре [6]. Для образцов Cr_{1-x}S с $x \leq 0.10$ на рентгенограммах помимо рефлексов фазы Cr_7S_8 наблюдались также рефлексы моноклинной фазы CrS . При этом с уменьшением x интенсивность последних возрастила на фоне рефлексов фазы Cr_7S_8 .

Изучение температурной зависимости удельного электросопротивления ρ (T) было проведено в диапазоне температур 300—1100 К. Типичные зависимости ρ (T), наблюдавшиеся для образцов Cr_{1-x}S , представлены на рис. 1. Из этого рисунка хорошо видно, что образец состава $\text{Cr}_{0.88}\text{S}$, содержащий только